

Exercice E10.2: VLSI et dissipation d'énergie



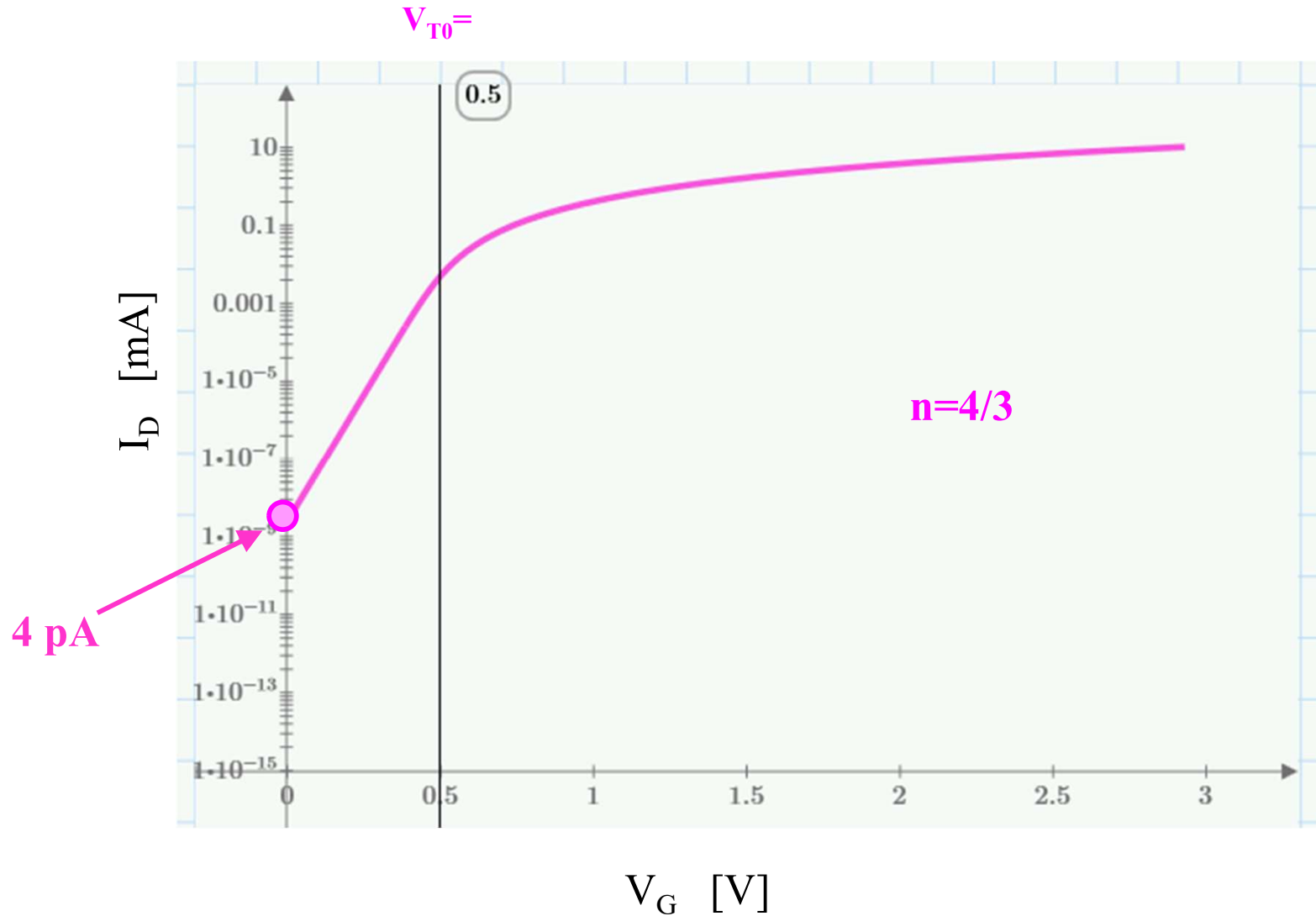
Considérons un chip avec une “Very Large Scale Integration” (VLSI) travaillant à température ambiante. Il contient 10^9 NMOS, tous “fermés” donc avec une tension de gate $V_G=0$. Le courant “subthreshold” est exprimé par:

$$I_{D,sub} \cong I_{0,sub} \cdot e^{q(V_G - V_T)/nkT} \quad \text{avec} \quad n = 1.33$$

- A) Le courant à $V_G=0$ V pour une tension de threshold $V_T=0.5$ V est de 4 pA par transistor. Quelle est la consommation en courant de tout le chip lorsque les transistors sont tous fermés ?
- B) Nous diminuons la tension de threshold à $V_T=0.25$ V. Quelle est maintenant la consommation en courant de tout le chip lorsque les transistors sont tous fermés ?

Commentaire: Cet exercice vise à montrer que le courant “subthreshold” pose une limite inférieure pour la tension de voltage, ceci afin d’assurer une bonne “fermeture” des transistors. Dans un micro-processeur, il y a en effet beaucoup plus de transistors au repos que de transistors “ouverts”.

Courbe I/V



A) Consommation totale:

$$I_{0.5V} \cong 10^9 \cdot 4 \cdot 10^{-12} = 4 [mA]$$

B) Courant dans chaque NMOS avec une tension V_T réduite à 0.25V:

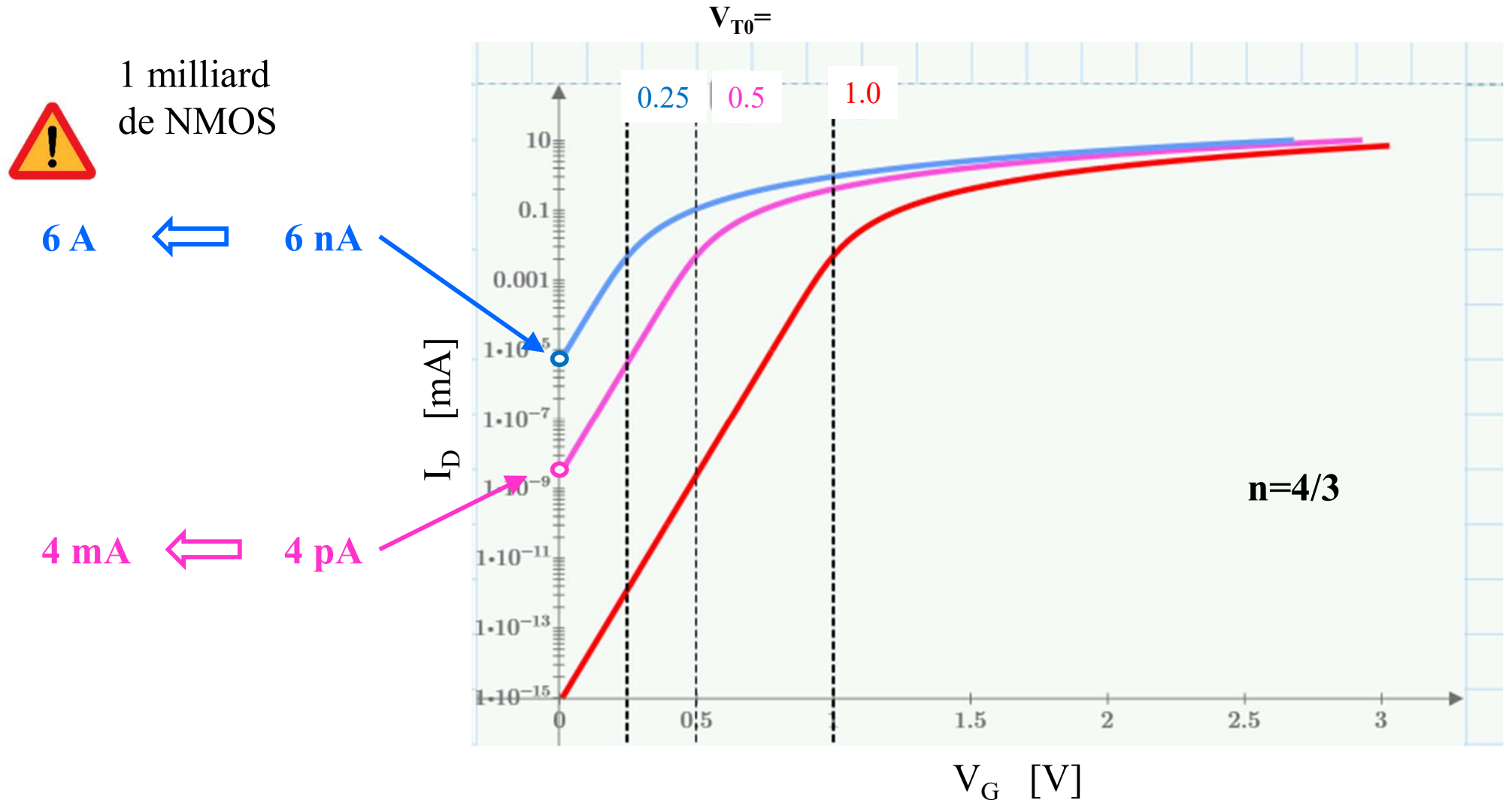
$$I_{D,sub} \cong I_{0,sub} \cdot e^{q(V_G - V_T)/nkT} \quad \text{avec } n = 1.33$$

$$4 \cdot 10^{-12} [A] \cong I_0 \cdot e^{q(-0.5)/nkT} \Rightarrow I_0 = 8.2 [\mu A]$$

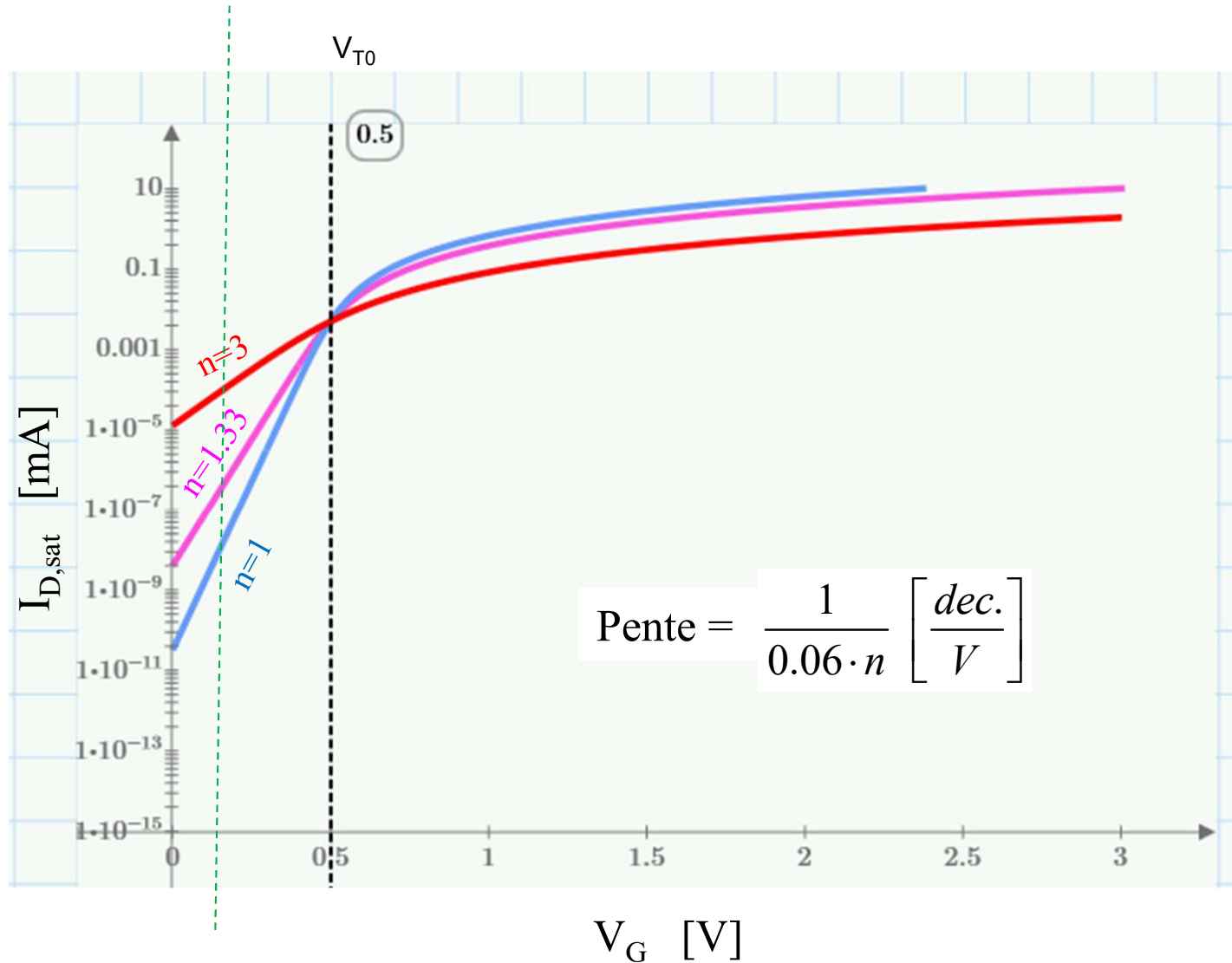
$$I_{D,sub} \cong I_0 \cdot e^{q(-0.25)/nkT} \cong 5.7 [nA]$$

$$I_{0.25V} \cong 10^9 \cdot 5.7 \cdot 10^{-9} = 5.7 [A]$$

Courant sur 1 transistor



Calcul numérique: Influence du slope factor n



$$n \equiv 1 + \frac{C_{B,th}}{C_{ox}}$$

$$C_{ox} = \frac{\epsilon_0 \epsilon_{ox}}{d_{ox}}$$

$$C_{B,th} \equiv \frac{\epsilon_0 \epsilon_s}{W_{th}}$$

$$= \frac{1}{2} \frac{\sqrt{2 \epsilon_0 \epsilon_s q N_A}}{\sqrt{2 \psi_B}}$$



	<p>Quelles sont les contraintes sur l'oxyde d'une structure MOS ?</p> <p>Discutez le cas d'une structure MOS sur substrat p en inversion forte (transistor) et celui de la même structure en déplétion profonde (CCD).</p>
--	--

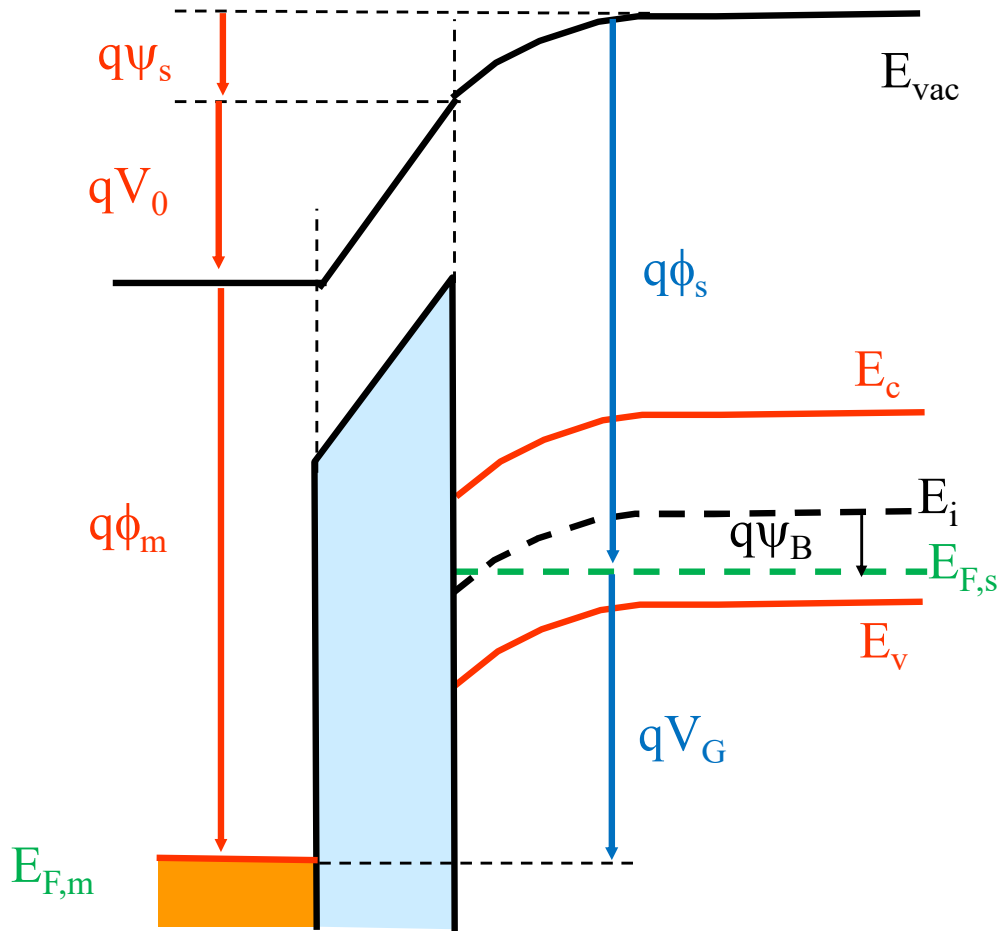
Avec la tension de gate, nous voulons modifier la structure de bande dans le semi-conducteur ou à sa surface. Pour être efficace il faut donc minimiser la chute de tension sur l'oxyde.

→ L'oxyde de gate doit être le plus fin possible.

→ Un oxyde avec une grande constante diélectrique est préférable.

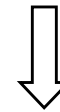
Il existe une limite:

sous fort champ électrique, l'oxyde peut « claquer » et détruire le composant !



Potential sur le métal V_G :

$$\underline{V_G + \phi_s} = \underline{\psi_s + V_0 + \phi_m}$$

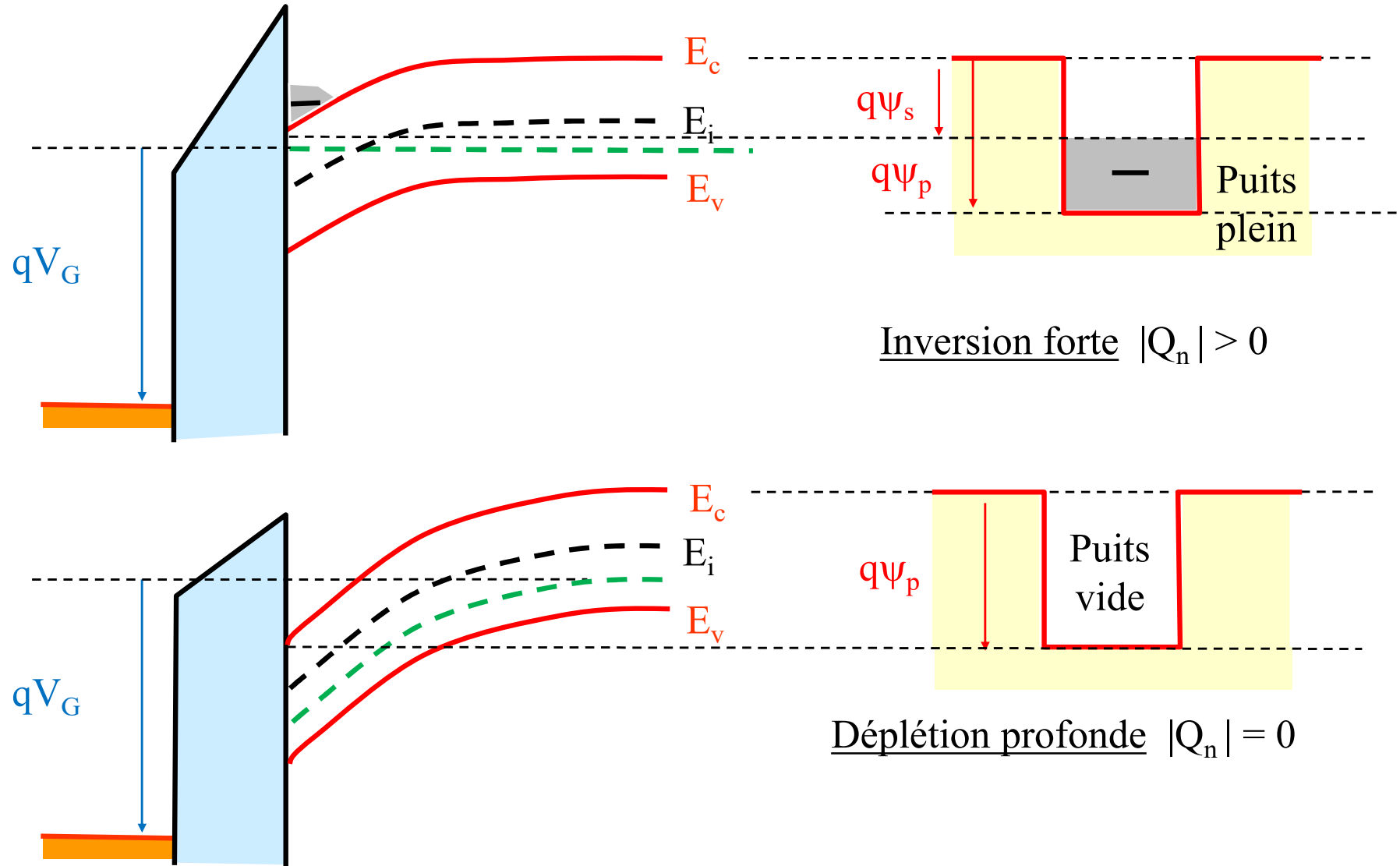


$$V_G - V_{fb} = \psi_s + V_0$$

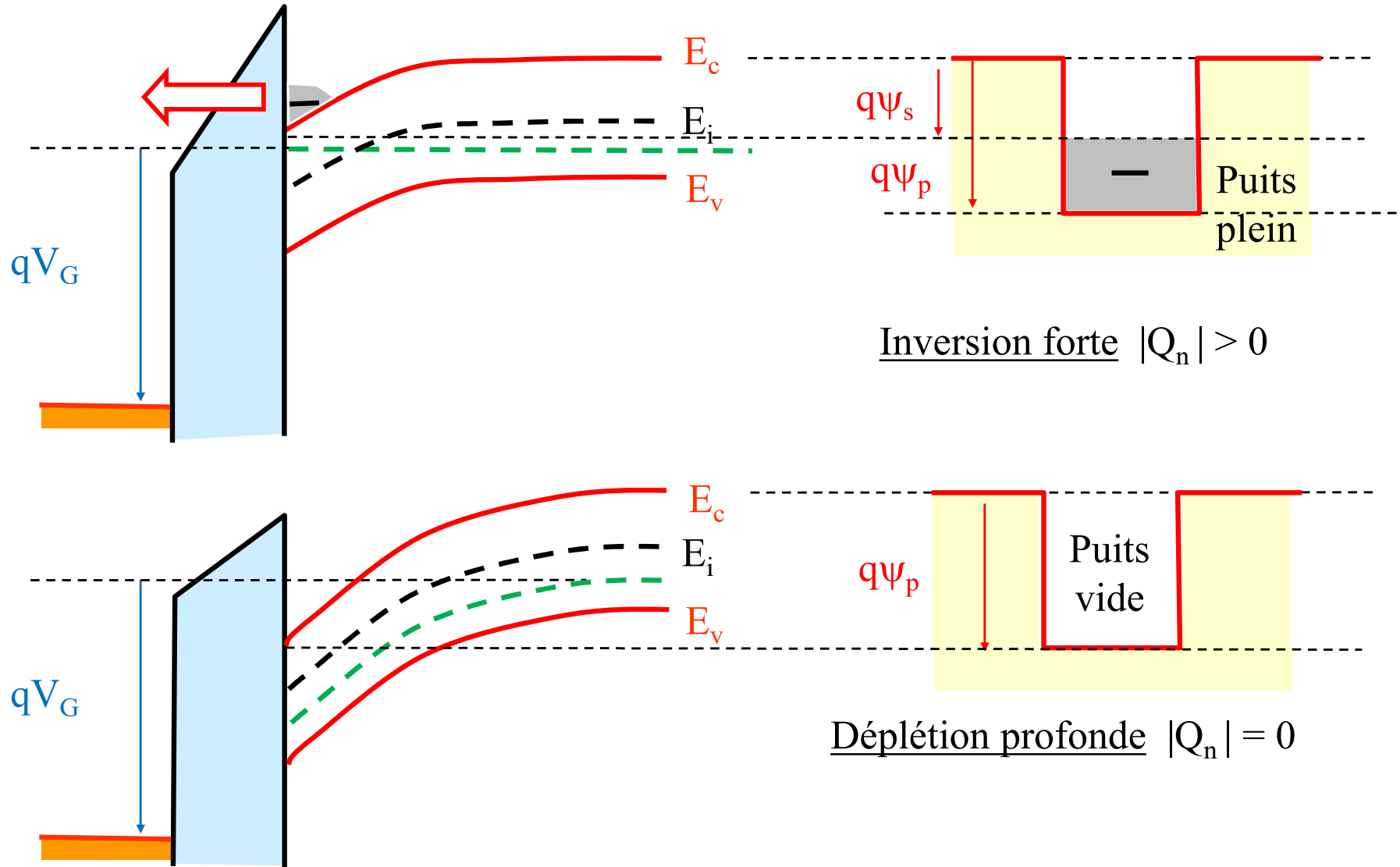
⋮

$$V_G - V_{M0} \cong n \cdot (\psi_s - 2\psi_B) - \frac{Q_n}{C_{ox}}$$

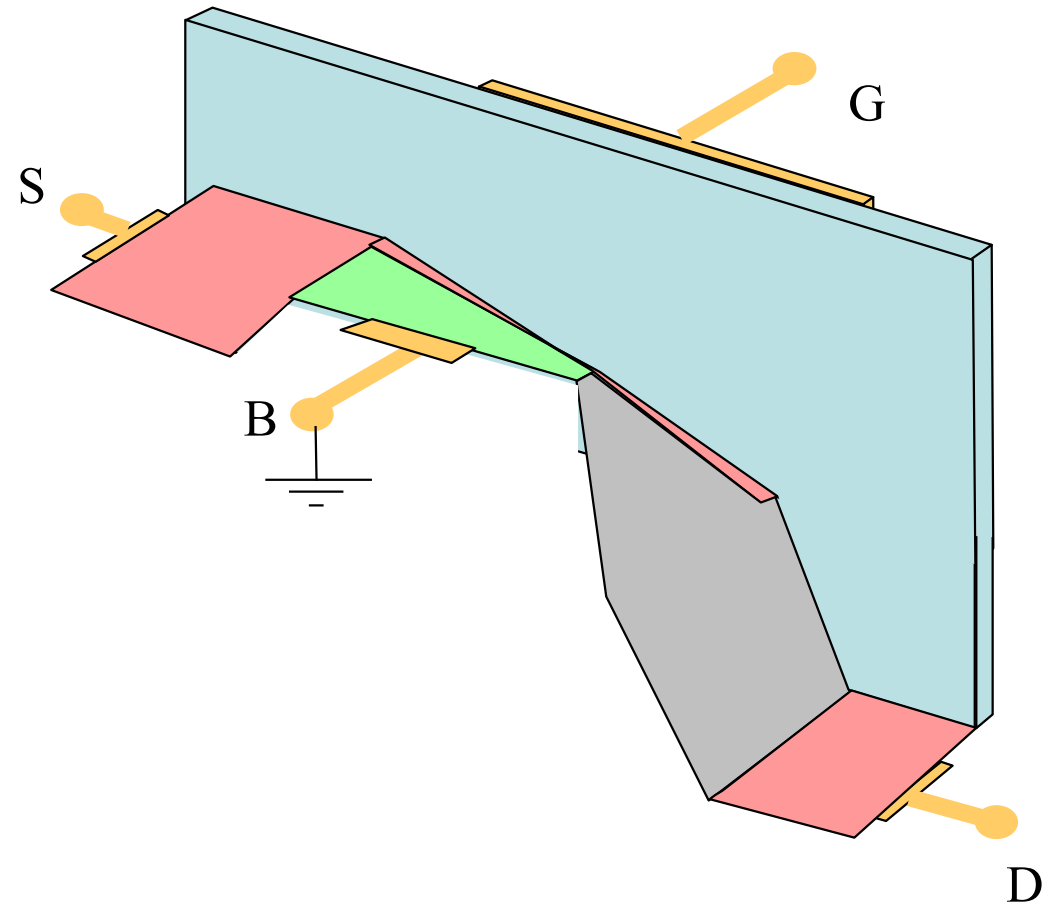
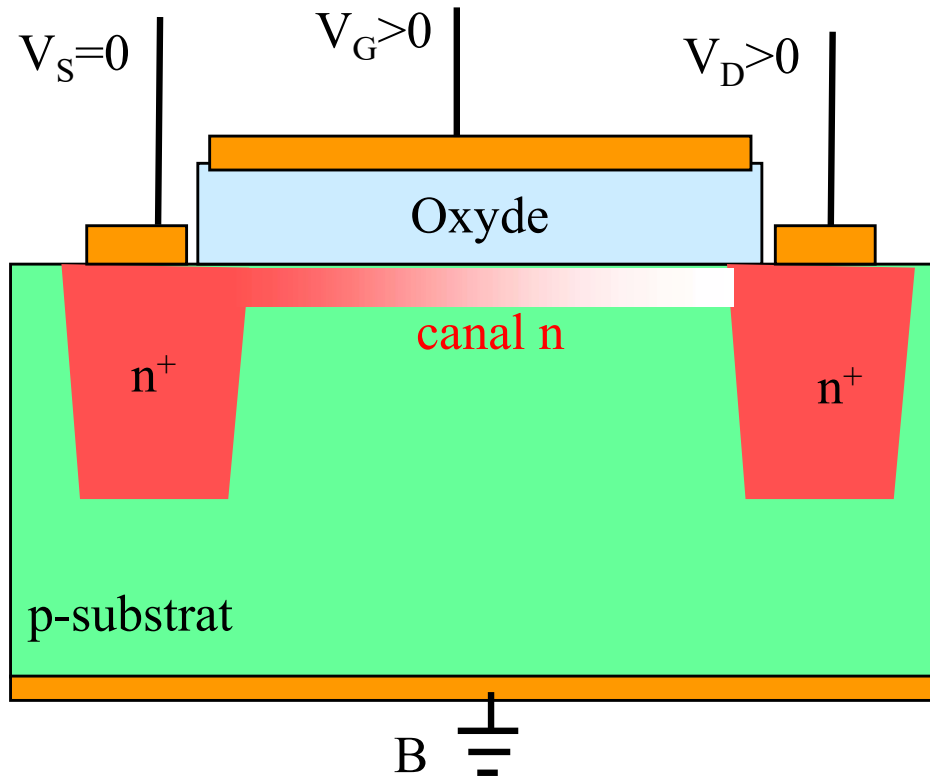
Exercice 10.3: CCD



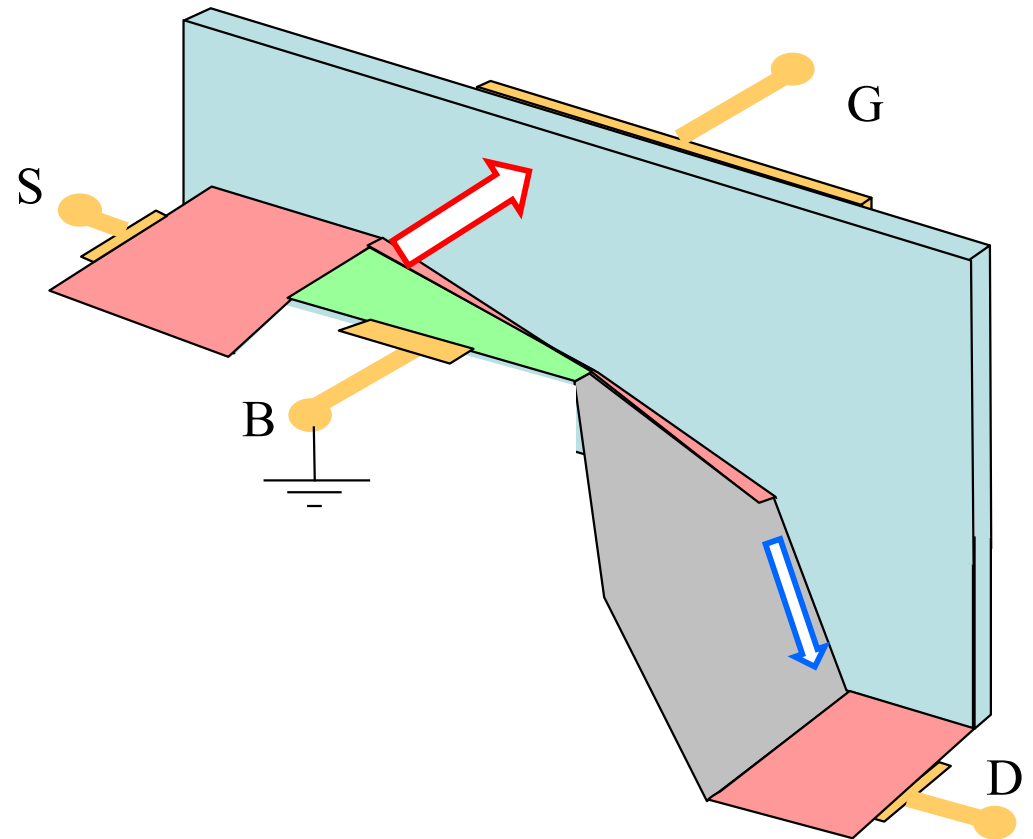
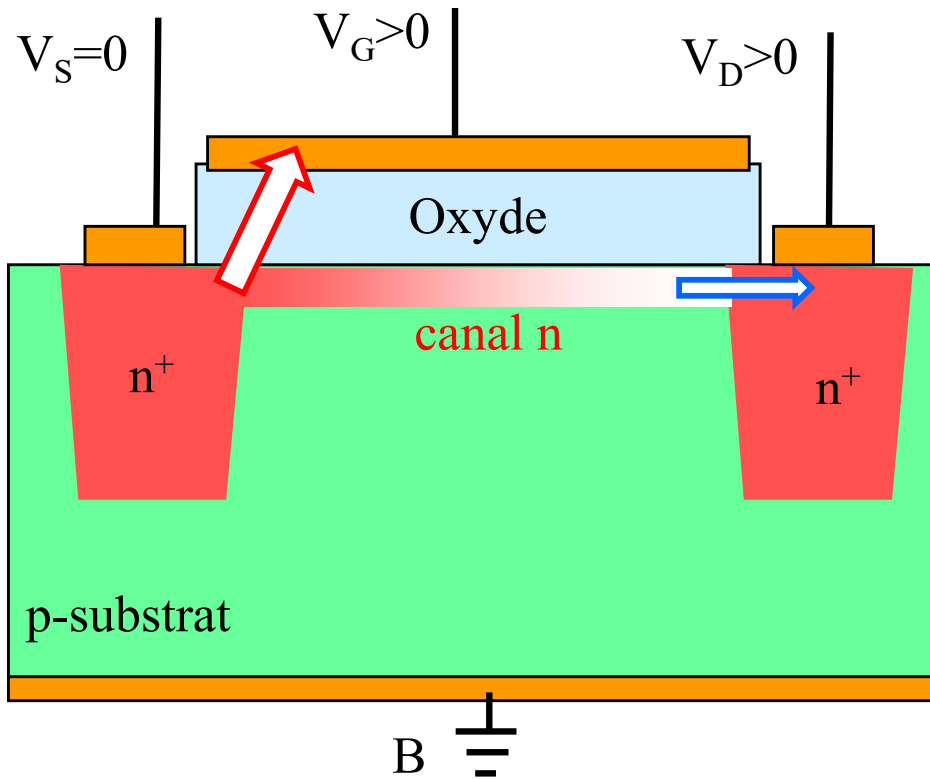
Exercice 10.3: CCD



Q: où le risque de claquage est-t-il le plus important ?



- 1) Claquage de l'oxyde du coté source
- 2) Effet avalanche à la sortie du canal

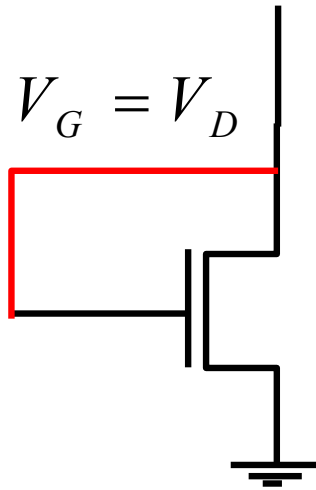




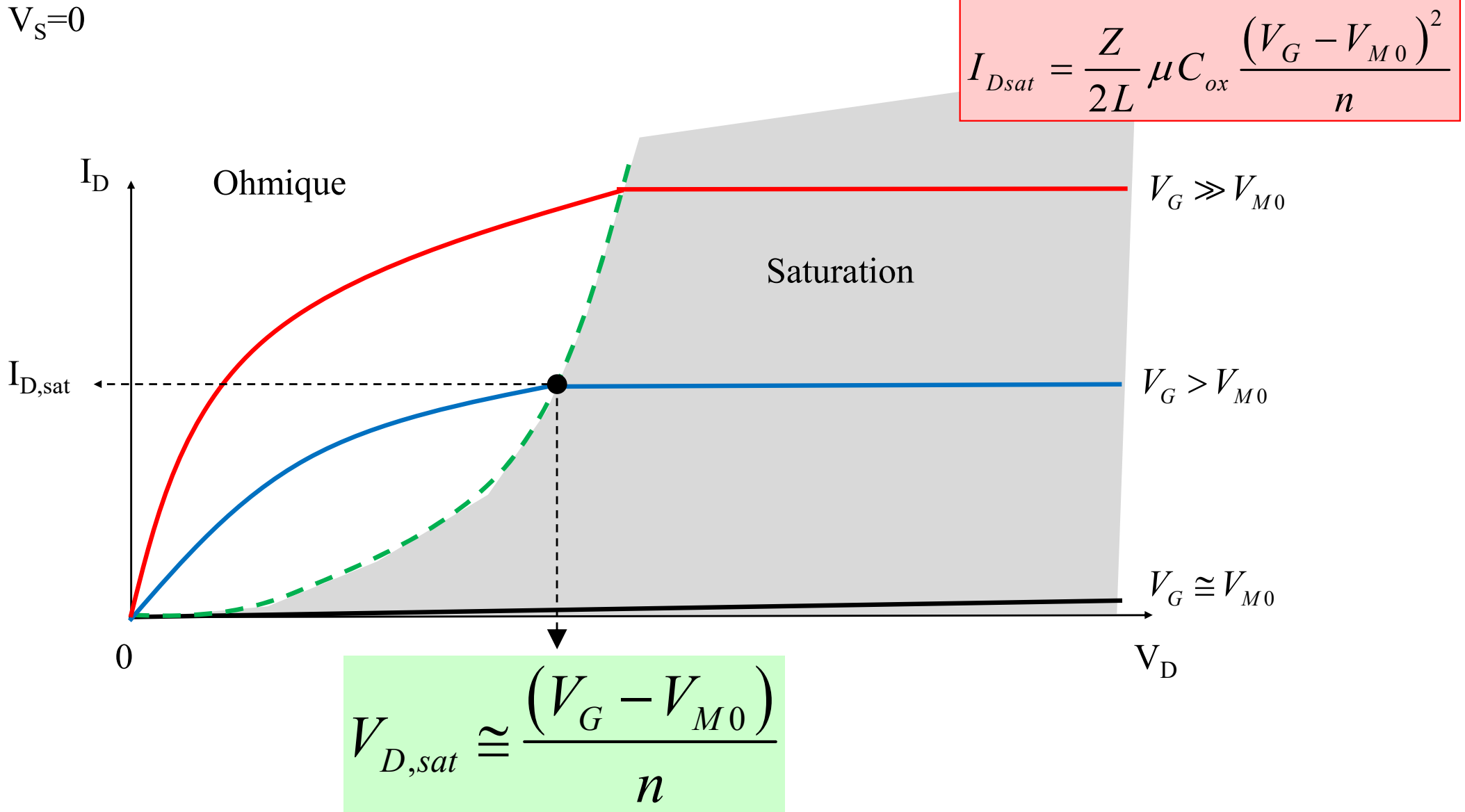
E10.4: MOSFET avec grille et drain court-circuités

- a) Lorsque la tension de drain et celle de gate sont court-circuitées ($V_G=V_D$), comparez la tension de drain V_D avec la tension de saturation $V_{D,sat}$. (nous supposons une tension de threshold V_{M0} positive pour le NMOS, et la source et substrat connectés à la masse)
- b) Que peut-on en déduire sur le régime de fonctionnement du NMOS ?
- c) Déterminez la relation courant-tension de ce transistor NMOS avec la grille et le drain court-circuités.
- d) Comment peut-on à partir de la mesure de cette caractéristique déterminer la tension de seuil ?

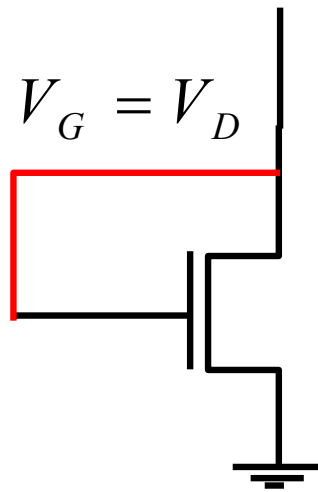
Exercice 10.4: « diode connected NMOS »



Courbes de sortie en mode FET avec modulation de la longueur du canal



Exercice 10.4: « diode connected NMOS »



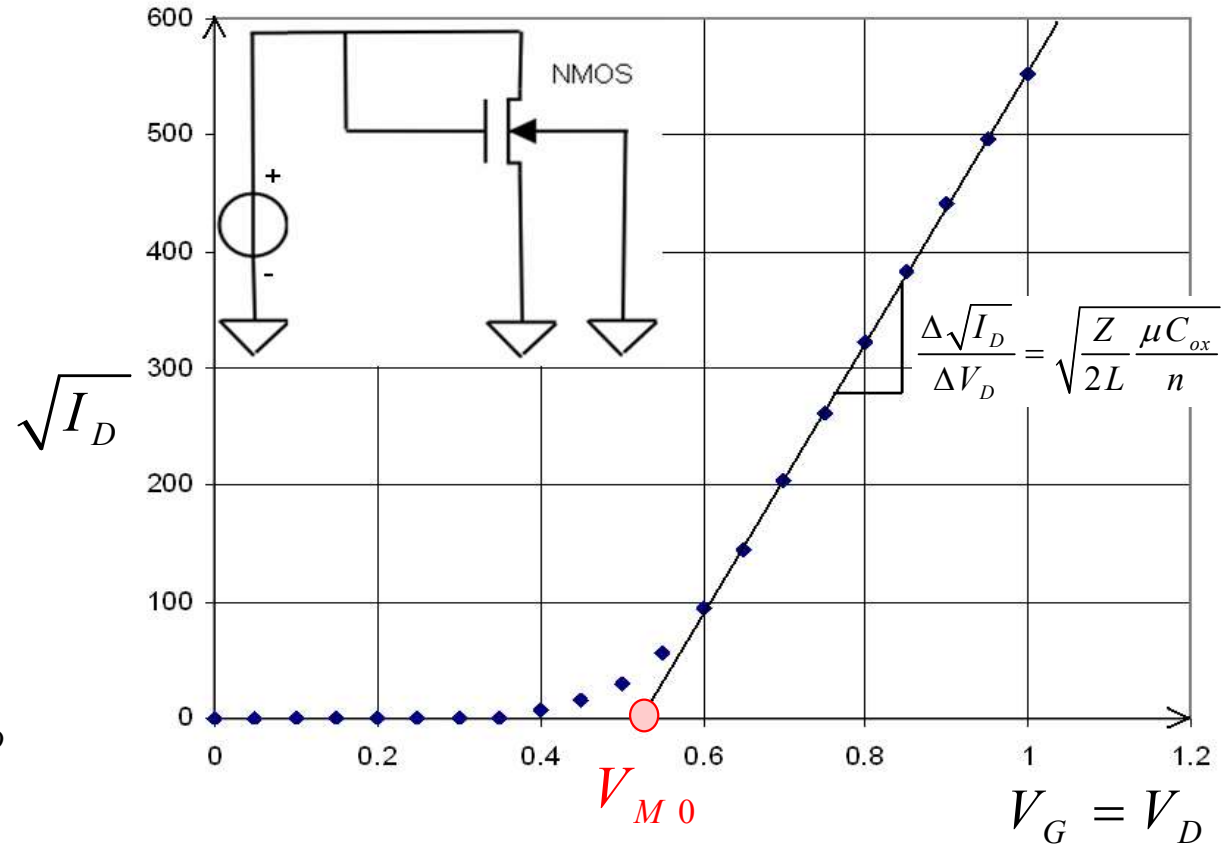
$$V_{Dsat} = \frac{V_G - V_{M0}}{n} = \frac{V_D - V_{M0}}{n} < V_D$$

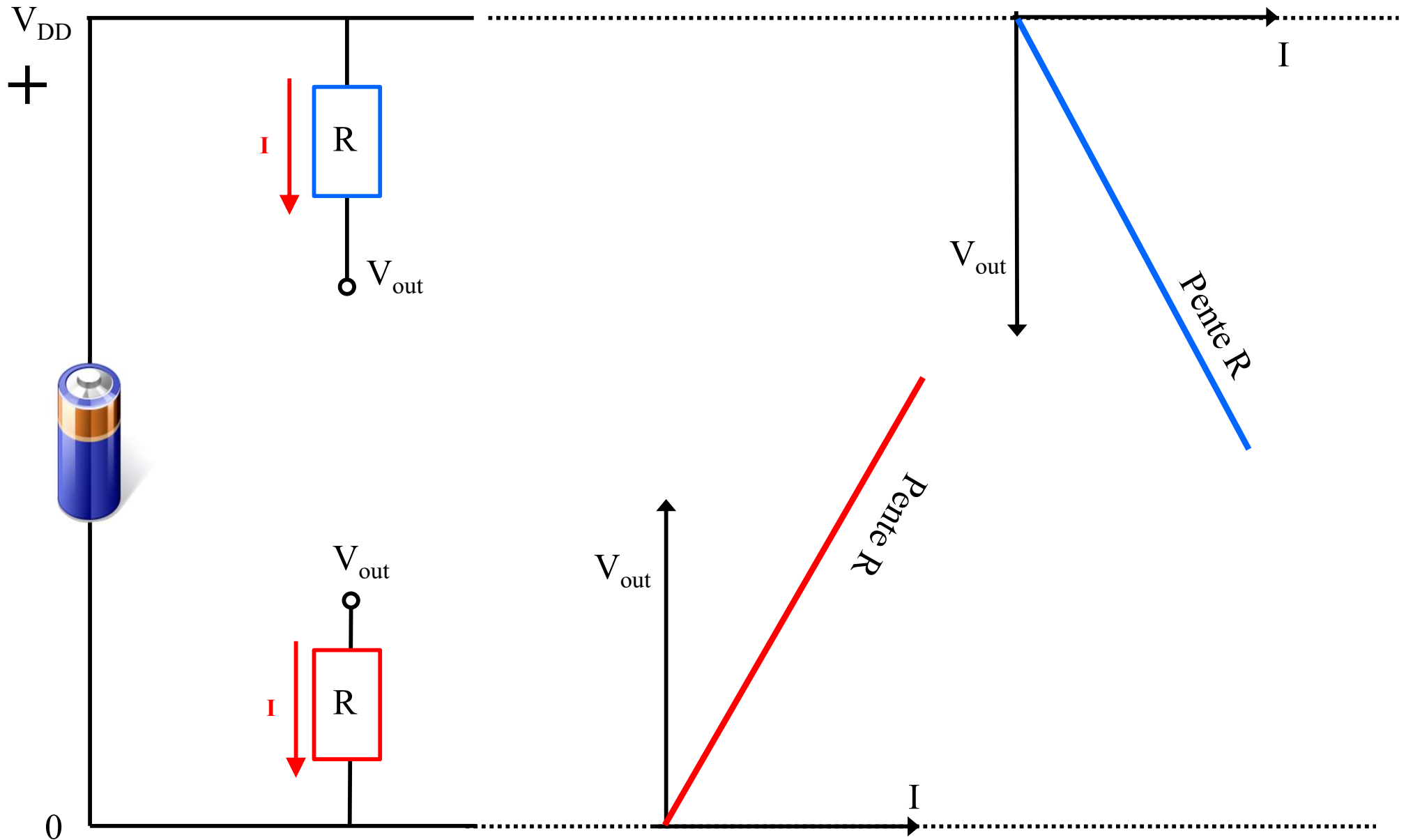


Mode de saturation:

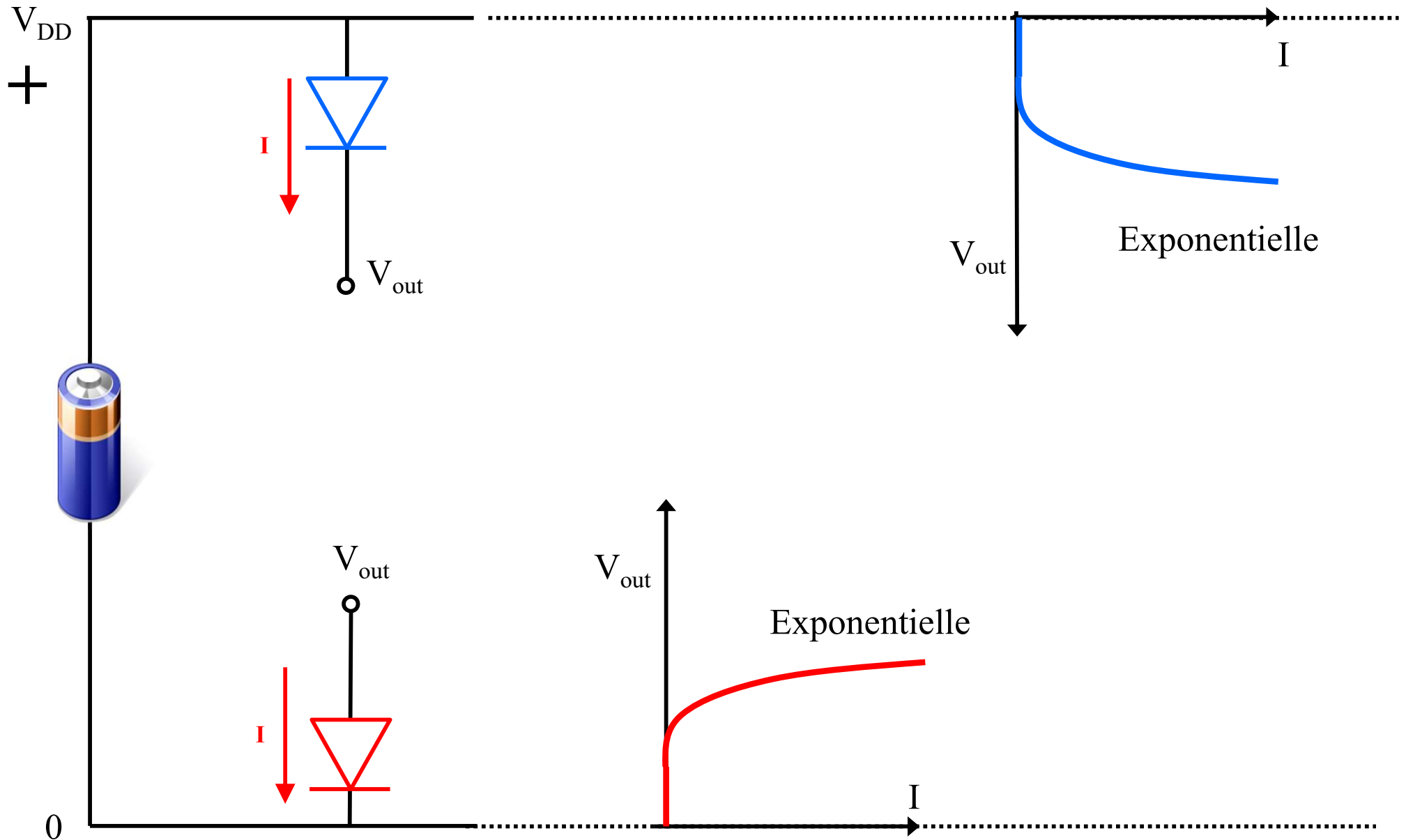


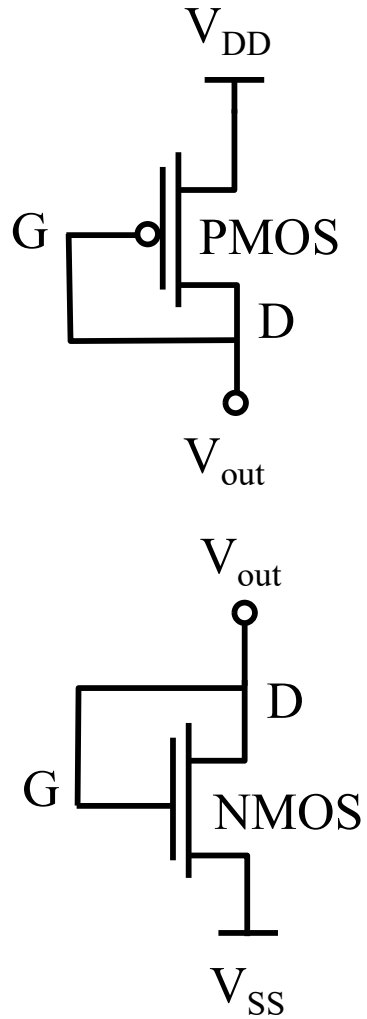
$$I_{Dsat} = \frac{Z}{2L} \mu C_{ox} \frac{(V_G - V_{M0})^2}{n}$$



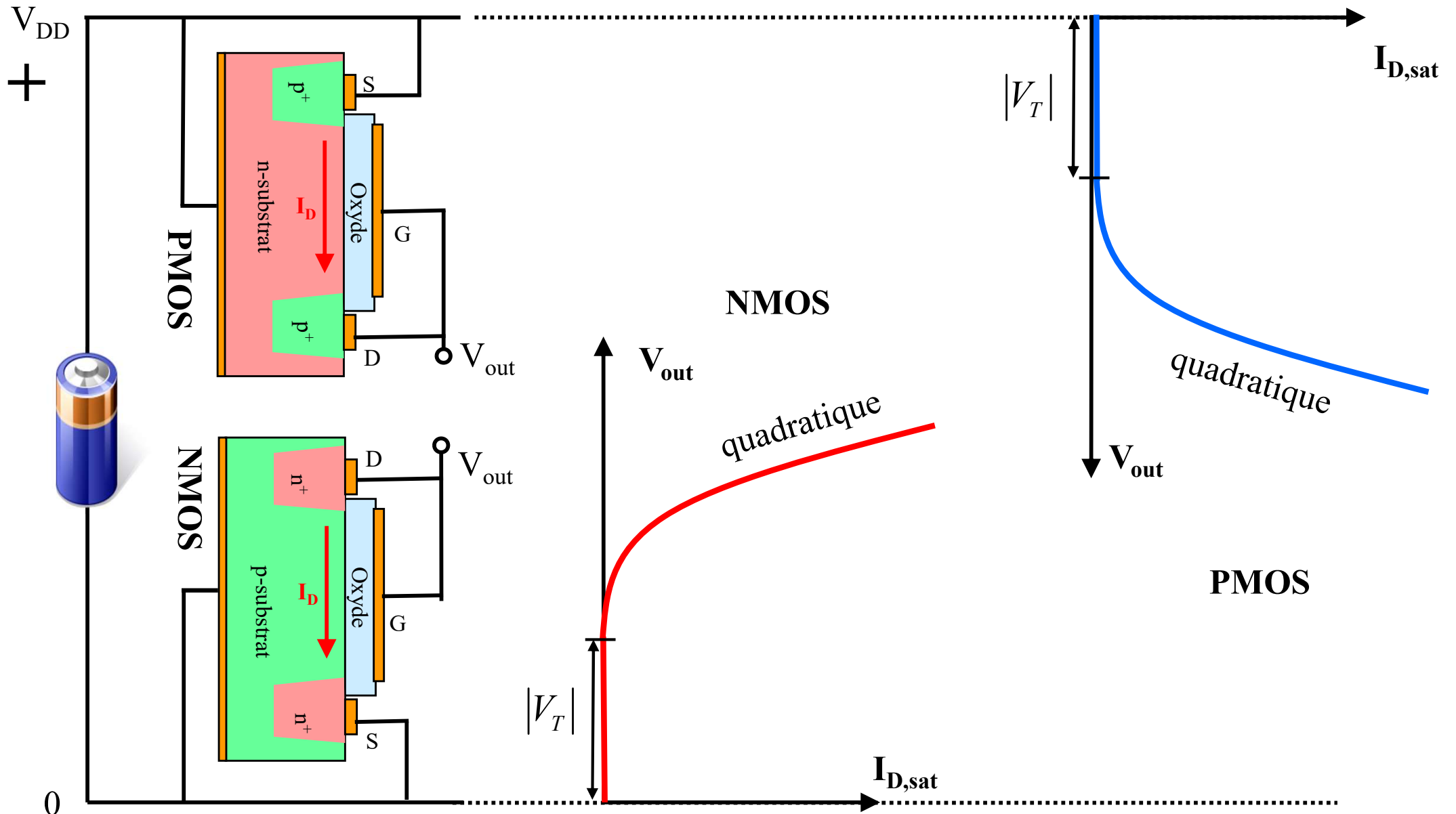


Diodes de charge

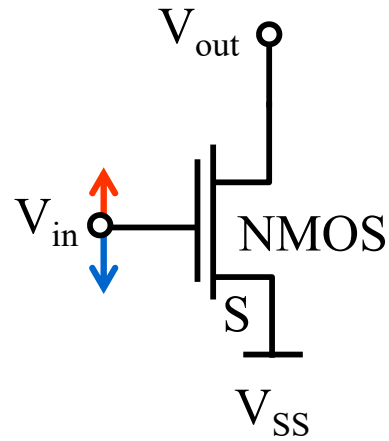
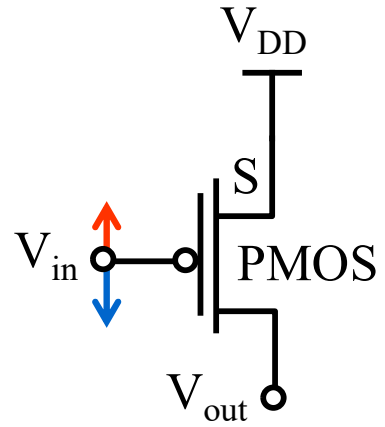




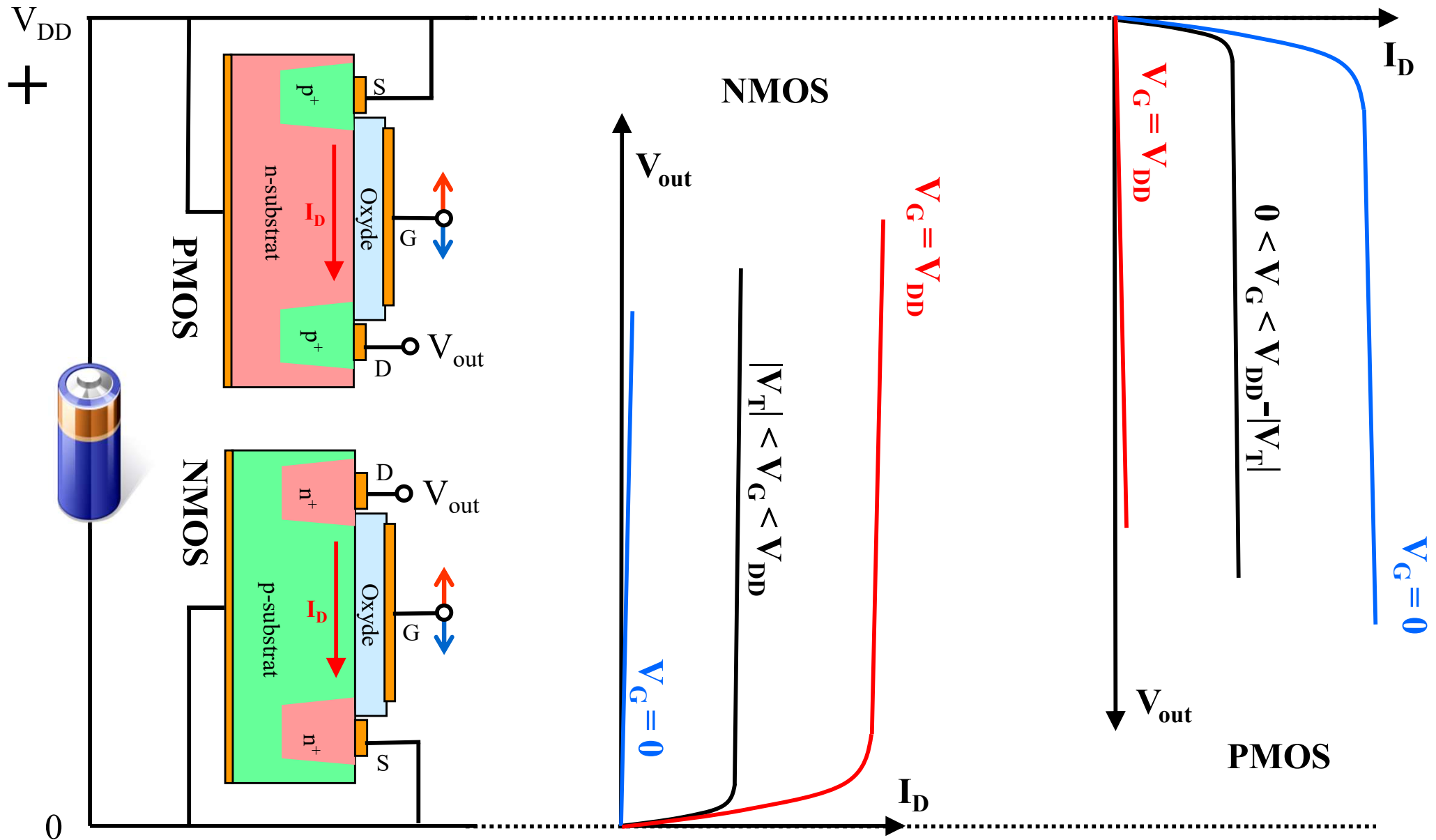
Comparaison NMOS et PMOS avec G/D court-circuités



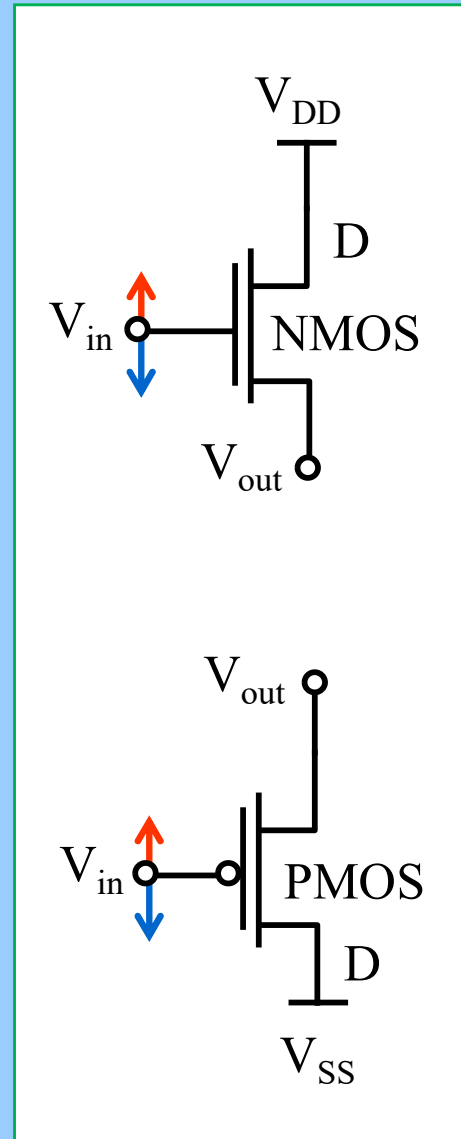
Configurations en CMOS



Comparaison NMOS et PMOS



Configurations en CMOS



Comparaison NMOS et PMOS en suiveurs

